

Якщо величина негативного рефлексу до або після переробки дорівнює нулю, що практично буває винятково рідко в межах секреторної методики, такий розрахунок провести неможна.

Отже, виражаючи ступінь переробки в процентах, ми можемо кількісно оцінювати переробку кожного з нервових процесів.

Для судження про загальну оцінку рухливості в ряді випадків зручно користуватися відносними величинами. З цією метою можна зіставити відношення абсолютних величин гальмівних рефлексів до і після переробки. Ряд показників, одержаних з допомогою подібного розрахунку для кожного досліду по переробці в будь-якому випадку можна обробити статистично, що не завжди можна зробити при користуванні загальноприйнятою методикою.

### Література

- Красуский В. К.—В кн.: Методики изучения типологич. особен. высш. нервн. деят. живот. «Наука», 1964, 32.
- Сиротский В. В.—Журн. высш. нервн. деят., 1967, 17, 3, 431.
- Трошихін В. О., Сиротський В. В., Тихомирова Л. Д.—Фізіол. журн. АН УРСР, 1967, 13, 3, 291.

Надійшла до редакції  
15.V 1970 р.

УДК 578.087.1

## СТАТИСТИЧНИЙ АНАЛІЗ ПОМИЛОК ПРИ ВИЗНАЧЕННІ МІКРОПЛОЩІ ТА ЇХ ЗНАЧЕННЯ В ЦИТОФОТОМЕТРІЇ

Л. М. Ліберман, В. І. Малюк

Інститут фізіології ім. О. О. Богомольця та Інститут зоології АН УРСР, Київ

Обов'язковою складовою частиною більшості кількісних цитофізіологічних досліджень є вимірювання розмірів клітин та її структур. Численні літературні дані свідчать про те, що об'єм клітин, ядер та інших органоїдів зазнає чітких змін навіть при дуже тонких зрушеннях їх функціональної активності [3—5, 8, 9].

Основну інформацію про розміри мікрооб'єктів звичайно одержують при вимірюванні їх площин. Абсолютна величина площин, як відомо, встановлюється з допомогою мікропланіметрії, планіметрії зображень фотонегативів і зарисовок, а також зважування перенесених на папір і вирізаних з нього контурів об'єкта. Усі згадані методики мають досить істотні недоліки — вони громіздкі і малопродуктивні. Тому широкого поширення дістав менш трудомісткий спосіб визначення площин  $S$  мікрооб'єкта з використанням результатів його лінійних вимірювань і наближеної геометричної моделі. Природно, що величині  $S$ , обчисленій у такий спосіб, притаманні різні за своїми походженнями похибки, без аналізу яких важко судити про достовірність результатів. Ми розглянули статистичний характер похибок цієї методики непрямого визначення мікроплощі, зумовлених недосконалістю приладу та відмінністю форми реального мікрооб'єкта від ідеального, що дозволило обґрунтівувати її можливості та значення в цитофотометрії.

Нехай сукупності однотипних мікрооб'єктів властивий нормальний розподіл за  $S$  з середнім  $\bar{S}$  і дисперсією  $\sigma_S^2$ . Вимірюванням лінійних розмірів  $d$  притаманна випадкова похибка  $\pm \Delta d$ , значення якої визначаються багаторазовими повторними вимірюваннями  $d$  обраного об'єкта. Наприклад, за нашими даними, відтворюваність вимірювань  $d$  гвинтовим окуляром-мікрометром типу МОВ-1—15 («Цейс», Іена) становить 0,15—0,3  $\mu\text{m}$  ( $\pm 1—2$  поділки шкали барабана при збільшенні  $\times 600$ ). Похибки такого роду звичайно розподіляються за нормальним законом, в чому можна легко впевнитися [1]. Очевидно, аналогічно розподіляються значення похибок при прямих вимірюваннях  $S$  з допомогою згаданих раніше методик.

В ідеальному випадку мікрооб'єкт має форму кулі або частіше еліпсоїда. Легко показати, що значення відносної випадкової помилки, яку допускають при обчисленнях

$S$  внаслідок похибки  $\Delta d$ , визначається виразом  $\frac{\Delta S}{S} = \left(1 + \frac{1}{e}\right) \frac{\Delta d}{d}$ ,  $d$  — менший діаметр еліпса,  $e$  — його ексцентриситет (відношення більшого діаметра до меншого). Залежність  $\frac{\Delta S}{S}$  від  $d$  при різних  $e$  показана на рис. 1. Помилка розрахунку площин ( $S \approx 100 \mu\text{m}^2$ ) становить  $\pm 2,5\%$  і наближається до експериментальної похибки. Оскільки абсолютнона похибка  $\Delta S$  виражається сумаю лінійної і квадратичної функцій  $\Delta d$ :  $\Delta S = \frac{\pi}{4} [(d_1 + d_2) \Delta d + (\Delta d)^2]$ , останнім членом виразу можна знехтувати і, отже,

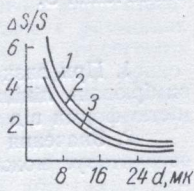
величини  $\Delta S$  також розподіляються за нормальним законом з дисперсією  $\sigma_1^2 = \left( \frac{\Delta S}{S} \right) \bar{S}^2$ . Аналогічно розподіляються значення похибки  $\Delta S$  при використанні іншої моделі, що неважко показати.

Істинна форма клітин та їх структур варіє і може значно відрізнятися від правильної. Тому розрахунок площи за формулами, крім випадкової помилки  $\Delta S$ , спрямованої також з систематичною помилкою  $\eta(S)$ , яку ми назовемо похибкою форми. Похибка  $\eta(S)$  знижує точність визначення  $S$ , а її значення тим більше, чим значніше форма мікрооб'єкта відрізняється від моделі. Наприклад, значення  $\eta(S)$  збільшуються приблизно на 4% при вимірюваннях площ витягнутих ядер нерівного профілю в порівнянні з гладкими кулястими ядрами [6].

Оскільки форма мікрооб'єктів варіє, змінюється й значення  $\eta(S)$ . Можна пропустити, що при дослідженнях сукупності однотипних мікрооб'єктів, форма кожного з яких близька до обраної моделі  $\eta(S)$  набуває значення, що розподіляються за нормальним законом, з дисперсією  $\sigma_2^2$ . У вірності припущення неважко впевнитися, порівнявши результати незалежних визначень  $S$  кожного об'єкта, одержаних вимірюванням лінійних розмірів і прямим способом. З такого порівняння визначається дисперсія  $\sigma_2^2$

Рис. 1. Залежність відносної випадкової похибки визначення пло-

щі еліпсоїдальних мікрооб'єктів (%) від їх менших діаметрів.  
Криві 1, 2, 3 розраховані для значень  $e$ , що дорівнюють відповідно 1, 2, 3;  
 $\Delta d = \pm 0,15 \text{ мк}$ .



з урахуванням помилки безпосередніх вимірювань  $S$ . Якщо значення похибки  $\eta(S)$  з розподіляються за нормальним законом, то аналогічно розподіляються й значення сукупної помилки визначення  $S$  з дисперсією  $\sigma_0^2 = \sigma_1^2 + \sigma_2^2$ , і експериментальні значення вимірювань  $S$  мікрооб'єктів з дисперсією  $\sigma^2 = \sigma_k^2 + \sigma_0^2$ . Для прикладу на рис. 2, a наведений один з розподілів такого виду.

Нормальності розподілу величин  $\eta(S)$  у свою чергу доводить, що похибки  $\Delta S$  і  $\eta(S)$  тотовожно впливають на результати вимірювань  $S$ . Тому згадані помилки можна

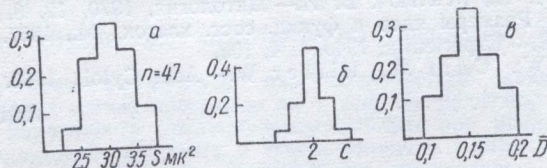


Рис. 2. Розподіл ядер малих лімфоцитів периферичної крові людини за площею (a), вмістом ДНК (b), середньою оптичною щільністю (c).

По вертикалі: відносна кількість ядер,  $n$  — кількість досліджуваних ядер.

порівнювати. Водночас нормальній розподіл значень  $\eta(S)$  обґрунтует правомочність розглядуваної методики визначення  $S$ . Питання про кількість об'єктів, які необхідно виміряти для досягнення заданої надійності, розв'язується так само, як і при аналізі клітин за оптичними щільностями  $D$  в цитофотометрії з урахуванням похибок цитофотометра [2].

Вимірювання площи мікрооб'єктів є необхідним етапом цитофотометричних досліджень вмісту речовини на приладах з нарізним вимірюванням  $D$  і  $S$ . Хоч сумарна випадкова похибка цитофотометра і окуляр-мікрометра вища, ніж похибка автоматичних скануючих мікроспектрофотометрів ( $\pm 5\%$  у наших дослідах проти  $\pm 1,5\text{--}2\%$  [10]), таких дослідженням притаманні певні переваги: нарізні визначення  $D$  і  $S$  дозволяють також дослідженням притаманні певні переваги: нарізні визначення  $D$  і  $S$  дозволяють вивчати регресійну залежність між  $m$  і  $S$ . Ця обставина має важливе значення для визначення ступеня поліплоїдизації клітин [4].

Аналіз похибки форми  $\eta(S)$  вказує, що її вплив на результати визначення  $S$  мікрооб'єктів аналогічний впливу похибки розподілу речовини  $\eta(D)$  в однохвильовій цитофотометрії [7]. Останній висновок вірний, незважаючи на деякі відмінності між  $\eta(D)$  і  $\eta(S)$ : позитивні і негативні значення  $\eta(S)$  рівномірні, оскільки вони варіюють близько нуля, тоді як значення  $\eta(D)$  варіюють близько середніх значень, які

визначають показники її параметрів, зберігаючи її постійний знак. Відзначимо, що в тих випадках, коли сукупностям мікрооб'єктів властивий нормальній розподіл як за  $S$ , так і за  $m$ , так само розподіляються і середні значення оптичних щільностей  $\bar{D}$  (рис. 2, б, в), оскільки з точністю до постійної  $m = \bar{D} \cdot S$ . Отже, значення інших контролюваних випадкових і систематичних похибок в абсорбційній цитофотометрії також розподіляються за нормальним законом.

Розглянута методика вимірювання площі ядер була застосована нами при цитофотометричному аналізі вмісту ДНК у великої кількості об'єктів. Усього досліджено понад 8500 клітин у нормі, патології і первинній культурі тканини на 50 препаратах. Зокрема, були досліджені клітини нормальних астроцитів, зернистої шару мозочка і олігодендроглії, ендотелію і фібробластів грудної аорти, а також гладком'язові клітини міжреберних артерій людини. У всіх згаданих популяціях була виявлена низька проліферативна активність, що узгоджується з даними авторадіографії. Одержані результати експериментів посередньо підтверджують вірність запропонованого аналізу похибок визначення  $S$ .

### Висновки

1. При визначенні площі мікрооб'єктів на основі модельних уявлень і результатів вимірювань лінійних розмірів неминучі помилки приладу і похибки, зумовлені відмінністю форми від геометричної моделі.

2. Значення похибок обох видів розподіляються за нормальним законом, що обґрунтует можливість застосування викладеної методики.

### Література

1. Агекян Т. А.—Основы теории ошибок для астрономов и физиков, М., 1968.
2. Агроскин Л. С.—Цитология, 1962, 4, 5, 585.
3. Бенюш В. А.—Карто- и цитофотометрич. изуч. полиплоидизации паренхимных клеток в процессах постнатальн. и восстановит. роста печени крыс. Автореф. дисс., М., 1968.
4. Бродский В. Я.—Трофика клетки, М., 1966.
5. Коган З. М.—Цитология, 1969, 11, 8, 917.
6. Либерман Л. Н., Малюк В. И., Кандыба Л. А.—Цитология, 1969, 11, 2, 260.
7. Либерман Л. Н., Малюк В. И.—Цитология, 1970, 12, 8, 1069.
8. Хесин Я. Е.—Размеры ядер и функции сост. клеток., М., 1967.
9. Hintzsche E.—Experientia, 1945, 1, 4, 103.
10. Sandritter W., Carl M., Ritter W.—Acta Cytol., 1966, 10, 1, 26.

Надійшла до редакції  
2.XII 1969 р.

УДК 577.3

## ПРО ВИМІРЮВАННЯ НАДСЛАБКИХ СВІТІНЬ БІОЛОГІЧНИХ ОБ'ЄКТИВІВ

Б. Р. Киричинський, Е. З. Рябова, Я. І. Серкіз, Є. Ю. Чеботарьов  
Сектор молекулярної біології і генетики Інституту мікробіології і вірусології  
АН УРСР, Київ; Київський інститут експериментальної та клінічної онкології

Можливість вивчення надслабких світінь біологічних тканей стала реальною в останні роки, коли успіхи радіоелектроніки зробили можливою реєстрацію та вимірювання надзвичайно слабких світлових потоків. Цілком зрозуміло, що дальший прогрес у цій галузі залежатиме від досягнень у напрямку створення досить простої і надійної апаратури, призначеної для проведення аналогічних досліджень.

Власне сам термін «надслабке світіння»—є збірним і охоплює світіння різного походження, дослідження і вимірювання яких, внаслідок вкрай незначної їх інтенсивності, можливе тільки з допомогою спеціальних високочутливих пристрій.

Розрізняють два основні види надслабких світінь.

I. Як встановлено рядом авторів [6, 10, 11], усі життєздатні клітини тварин і рослин безперервно випускають дуже слабке світіння в синьо-зеленій частині спектра. Таке спонтанне або темнове світіння є по-суті хемілюмінесценцією і виникає в тих випадках, коли енергія хімічного перетворення достатня для збудження енергетичних рівнів проміжних або кінцевих продуктів реакції. Для виникнення світіння у видимій